

مقایسه رفتار شیمی-فیزیکی و رئولوژیکی پلیمرهای تجاری بهبوددهنده شاخص گرانزوی مصرفی در صنعت روغن موتو

هدایت الله صادقی قاری^{*}، زهرا شکوری

خوزستان، امیدیه، باشگاه پژوهشگران جوان دانشگاه آزاد اسلامی واحد امیدیه، صندوق پستی ۱۶۴

دریافت: ۹۰/۱۱/۲۸، پذیرش: ۹۰/۱۵/۸۹

چکیده

در این پژوهش، رفتار چهار پلیمر تجاری (کلتان، ویسکوتک، پاراتون و هایتك) مصرفی در صنعت روغن موتو کشور برای تعیین مناسبترین پلیمر بهبوددهنده شاخص گرانزوی بررسی شد. در این راستا رفتار گرانزوی، پایداری برشی و همچنین کارایی این نوع محلول‌های پلیمری در دمای کم برای لحظه آغاز کار موتو (استارت) با یکدیگر مقایسه شد. رفتار گرانزوی محلول‌های پلیمری دارای غلظت‌های مختلف ۰/۳، ۰/۵، ۰/۷ و ۰/۰٪ وزنی از نظر پارامترهای شیمی - فیزیکی هم‌چون گرانزوی ویژه، گرانزوی ذاتی، نسبت گرانزوی، قدرت غلیظکنندگی و شاخص گرانزوی با یکدیگر مقایسه شدند. انرژی فعال‌سازی هریک از محلول‌های پلیمری تولیدی نیز با استفاده از معادله آرنیوس محاسبه و کارایی پلیمرها در تغییر انرژی فعال‌سازی و کاهش حساسیت دمایی روغن بررسی شد. در ادامه پایداری برشی این نوع پلیمرهای تجاری در حالت محلول بررسی شد. از نتایج آزمون برشی، ارتباط معکوس پایداری برشی پلیمرها در محلول با وزن مولکولی آنها مشخص شد. در نهایت نیز رفتار پلیمرهای مطالعه شده در دمای ۱۵°C- به منظور تعیین کارایی بهینه در لحظه آغاز به کار موتو بررسی شد. نتایج نشان داد، پلیمرهایتک با توجه به ساختار مولکولی آن نسبت به سایر پلیمرها کارایی بیشتری دارد. پلیمرهای پاراتون و ویسکوتک نیز رفتار نسبتاً مشابهی دارند، اگرچه از نظر گرانزوی‌سنجدی ویسکوتک تا اندازه‌ای برتر از پاراتون و از نظر رفتار برشی پاراتون برتر از ویسکوتک است. پلیمر کلتان نیز تنها قدرت غلیظکنندگی بیشتری دارد و از نظر کارایی برشی و کارایی در دماهای پایین برای لحظه آغاز به کار موتو نامطلوب است و نمی‌توان از آن در تولید روغن موتوهای باکیفیت استفاده کرد.

واژه‌های کلیدی

روغن موتو،
کوبلیمر اولفینی،
گرانزوی،
بهبوددهنده شاخص گرانزوی،
پایداری برشی

* مسئول مکاتبات، پیام‌نگار:

hedayat.sadeghi@gmail.com

مقدمه

آرام لایه‌های روغن که وابسته به آنهاست، سبب افزایش گرانروی ظاهری روغن می‌شود.

افزایش شاخص گرانروی در اثر واکنش‌هایی است که درون مولکول‌های پلیمر و بین مولکول‌های پلیمر و روغن انجام می‌شود. در یک حلال خوب مولکول‌های پلیمر به حالت کشیده‌اند و به وسیله لایه‌ای از حلال محصور شده و هیچ جذب داخل مولکولی یا بین مولکولی انجام نمی‌شود. در حلال ضعیف مولکول‌های پلیمر در حالت جمع شده اثر غلیظ‌کنندگی بیشتری نسبت به حالت پیچیده نشان می‌دهند. به طوری که در این وضعیت مولکول‌های پیچیده پلیمر یک‌دیگر را با نیروی بین‌مولکولی و درون‌مولکولی جذب می‌کنند و مولکول‌های حلال را از موضع خود بیرون می‌رانند. با توجه به این که انحلال‌پذیری پلیمر با افزایش دما افزایش می‌یابد، در یک حلال ضعیف افزایش گرانروی بیشتری نسبت به حلال خوب رخ می‌دهد. زیرا، در یک حلال خوب بخش اعظم بازشدن مارپیچ‌ها قبلًا در دمای پایین اتفاق افتاده است [۶].

انحلال‌پذیری پلیمرها در حلالی مشخص با دما تغییر می‌کند و پلیمری که تغییر انحلال‌پذیری آن با دما بیشتر باشد، اثر افزایش شاخص گرانروی آن بیشتر خواهد بود. در برابر آن، گرانروی محلول پلیمر در روغن با افزایش دما کاهش یافته و افت گرانروی روغن پایه با افزایش دما تنها اندکی به وسیله افزایش گرانروی محلول جبران می‌شود. با توجه به اطلاعات موجود، بهبوددهنده شاخص گرانروی ایده‌آل، پلیمری با مولکول‌های خطی است که در کمترین دمای انتخابی حالت کاملاً ذره‌ای دارد. این مولکول‌ها در بیشترین دمای عملکرد در حالت کشیده‌اند که منجر به انحلال‌پذیری بهتر پلیمر می‌شود. در نتیجه مارپیچ‌ها منبسط‌تر شده و در این حالت گرانروی بیشترین افزایش را نسبت به تغییر دما نشان می‌دهد.

اثر غلیظ‌کنندگی تحت اثر تشکلهای مختلف قرار می‌گیرد که روغن موتور در معرض آنها واقع می‌شود. این تنش‌ها به شکل مکانیکی، گرمایی و اکسایشی هستند. در واقع، افزایش دما در حالتی از انرژی سهیم است که نیروهای چسبندگی درشت مولکول‌ها را کاهش می‌دهد. مارپیچ‌های فشرده شده باز می‌شوند و قدرت غلیظ‌کنندگی با دما افزایش می‌یابد [۲،۳،۷]. اگر در دمای کم پلیمر در یک حلال خوب باشد، نظر به این که برهم‌کنش‌های حلال - پلیمر زیاد باشد، قدرت غلیظ‌کنندگی با دما افزایش نمی‌یابد [۸]. تنش‌های مکانیکی و سرعت برش زیاد ابتدا سبب لایه شدن مارپیچ‌های درشت مولکول‌ها در جهت جریان شده و سپس شکست زنجیرها را به دنبال دارد. قدرت غلیظ‌کنندگی به طور موقت در حالت قبلی و به طور دائم در حالت بعدی کم می‌شود.

به طور کلی، روغن موتورها شامل دو دسته مواد هستند: روغن پایه و دیگری مواد افزودنی. انواع مختلفی از افزودنی‌ها بسته به نوع و کاربرد روغن موتور در فرمول‌بندي روغن‌های چند درجه‌ای استفاده می‌شود. از این افزودنی‌ها می‌توان به مواد پاک‌کننده، پراکنده‌سازهای بدون خاکستر، روی دی‌تیوفسفات، ترکیبات ضد اکسید و ضد سایش، اصلاح‌کننده‌های اصطکاک، کاهش دهنده‌های دمای ریزش و بهبوددهنده‌های شاخص گرانروی اشاره کرد [۱]. از افزودنی‌های بسیار مهم در روان‌کارها، بهبوددهنده‌های شاخص گرانروی‌اند. گرانروی روغن موتور در اثر تغییر دما تغییر می‌کند. به منظور کاهش سرعت این تغییرات، مواد پلیمری به روغن افزوده می‌شوند. نوعی از این پلیمرها کوپلیمر اتیلن - پروپیلن یا اولفین کوپلیمر است. این مواد افزودنی باعث می‌شوند، روغن ضمن دارا بودن گرانروی مناسب در دمای‌های کم (که آغاز به کار موتور را آسان می‌کند) و نیز در دمای‌های زیاد و شرایط معمول کار موتور، از گرانروی کافی و مناسبی برخوردار باشد [۲۳]. این پلیمرها با غلیظ‌کردن روغن در دمای بالا نسبت به دمای پایین، منجر به بهبود شاخص گرانروی می‌شوند. بهبوددهنده‌های شاخص گرانروی مواد پلیمری هستند که اندازه مولکول‌های آنها خیلی بزرگ‌تر از مولکول‌های روغن است. این مواد گرانرو بوده و با افزودن آنها به روغن، گرانروی را در تمام دمای‌ها افزایش می‌دهند. هرچند اثر افزایش گرانروی در دمای‌های بالا مشهودتر است. بر این اساس، سرعت تغییرات گرانروی در یک تغییر دمایی واحد کاهش یافته و شاخص گرانروی افزایش می‌یابد. گرانروی محلول پلیمری صرف نظر از ساختار شیمیایی پلیمر یا حلال، وابسته به دما و غلظت پلیمر در محلول است [۴].

برای درک اثر غلیظ‌کنندگی، درشت مولکول‌های پلیمری را می‌توان به شکل مارپیچ‌هایی در نظر گرفت که چگونگی وضعیت آنها بستگی به برهم‌کنش حلال - پلیمر دارد [۵]:

الف - اگر برهم‌کنش حلال - پلیمر ضعیف‌تر از نیروهای چسبندگی زنجیرهای درشت مولکول‌ها باشد، مارپیچ‌ها فشرده‌تر می‌شوند. ابعاد آنها در محلول خیلی کوچک بوده و به شکل کره‌هایی خیلی کوچک روی هم می‌غلتند، بدون آن که اثری در حرکت لایه‌های روغن داشته باشند. در این حالت افزایش گرانروی بر اثر وجود پلیمر کم خواهد بود.

ب - اگر برهم‌کنش حلال - پلیمر قوی‌تر از نیروهای چسبندگی زنجیرهای درشت مولکول‌ها باشد، مارپیچ‌ها باز می‌شوند و مولکول‌های روغن به درون درشت مولکول‌های پلیمر نفوذ می‌کنند که ابعاد بسیار بزرگی در محلول دارند. اختلاط داخلی آنها و جریان

جدول ۱- مشخصات فیزیکی روغن‌های پایه مصرفی.

مشخصه	روش آزمون ASTM	SN-150	SN-500
وزن مخصوص (g/cm ³)	D1298	۰/۸۸۳۵	۰/۹۸۱۲
گرانروی سینماتیکی (cSt)			
در ۴۰°C	D 445	۳۰/۴	۹۹/۶۸
در ۱۰۰°C	D 445	۵/۱	۱۰/۶
شاخص گرانروی	D 2270	۹۲	۸۷
دمای اشتعال (°C)	D 92	۱۹۲	۲۴۵
دمای ریزش (°C)	D 97	۰	۹
رنگ	D1500	۲	۱/۵
اتلاف تبخیری (%)	D 5800	۱۴/۸۵	۱/۸

درصد وزنی) از هر پلیمر تهیه و گرانروی آنها در محدوده دمایی ۲۰–۱۱۰°C اندازه‌گیری شد. برای تولید محلول‌های پلیمری، مقدار مشخص از هر پلیمر به مخلوط روغن پایه با نسبت ۳۰ به ۷۰ از روغن SN-500 و SN-150 اضافه شد. محلول‌های موجود به مدت ۵ h در دمای ۱۲۰–۱۳۰°C گرما داده شدند تا محلول یکنواختی به دست آید.

گرانروی سنجی

برای بررسی رفتار گرانروی سنجی و مقایسه رفتار پلیمرهای مطالعه شده، محلول‌هایی با غلظت‌های متفاوت (۰/۳، ۰/۵، ۰/۷ و ۱ درصد وزنی) از هر پلیمر تهیه و گرانروی آنها با استفاده از گرانروی سنج مدل Cannon در محدوده دمایی ۲۰–۱۱۰°C مطابق با استاندارد ASTM D 445 [۱۱] اندازه‌گیری شد. برای تعیین وزن مولکولی از روش گرانروی سنجی و از معادله مارک-هوینک استفاده شد [۱۲]:

$$[\eta] = KM_v^a \quad (1)$$

با توجه به پایداری گرمایی این پلیمرها نسبت به سایر مواد افزودنی مشابه و هم‌چنین بیشتر بودن اثر غلیظ‌کنندگی کوپلیمرهای اولفینی بر حسب غلظت که منجر به کاهش مقدار مصرف و در نتیجه کاهش مقدار لجن و رسوبات در موتور می‌شود، توجیه مناسبی برای استفاده از آنها به عنوان بهبوددهنده‌های شاخص گرانروی است. افزون بر مزایای گفته شده، زیاد بودن پایداری برشی و به ویژه قیمت کم آنها موجب گسترش استفاده از آنها به عنوان بهبوددهنده‌های شاخص گرانروی شده است. از این‌رو، کوپلیمرهای اولفینی مصرف بیشتری نسبت به استرهای پلیمری دارند [۹، ۱۰].

با توجه به اهمیت پلیمرهای اصلاح‌کننده گرانروی و شاخص گرانروی در صنعت روغن موتور، روش‌های شناسایی پلیمرهای مناسب در این زمینه اهمیت ویژه‌ای دارد. بنابراین در پژوهش حاضر، سعی بر ارایه روش‌های علمی برای ایجاد تمایز میان این نوع پلیمرها شده است. بر اساس روش‌های شناسایی ارایه شده، مناسب‌ترین پلیمر از میان پلیمرهای مصرفی در صنعت روغن موتور شناسایی و تحلیل شد.

تجربی

مواد

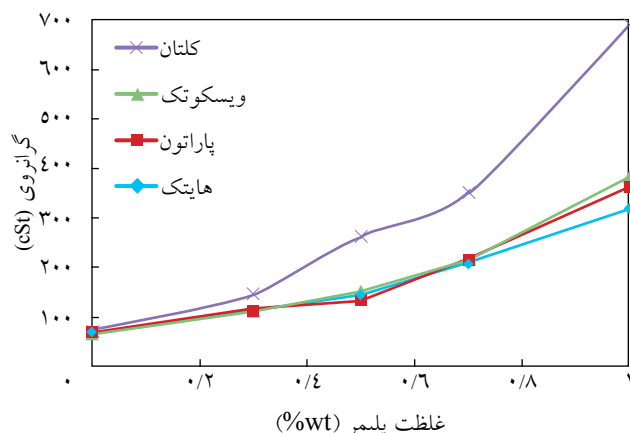
روغن‌های SN-150 و SN-500 روغن‌های پایه تجاری استفاده شده در این پژوهش اند که در جدول ۱ معرفی شده‌اند. مواد پلیمری تجاری که همان پلیمرهای بهبوددهنده شاخص گرانروی اند، به همراه برخی ویژگی‌های آنها در جدول ۲ ارایه شده‌اند.

دستگاه‌ها و روش‌ها آماده‌سازی محلول‌های پلیمری

برای بررسی رفتار گرانروی سنجی پلیمرهای استفاده شده در این مطالعه، محلول‌هایی با غلظت‌های متفاوت (۰/۳، ۰/۵، ۰/۷ و ۱

جدول ۲- مشخصات و خواص پلیمرهای بهبوددهنده شاخص گرانروی مورد استفاده.

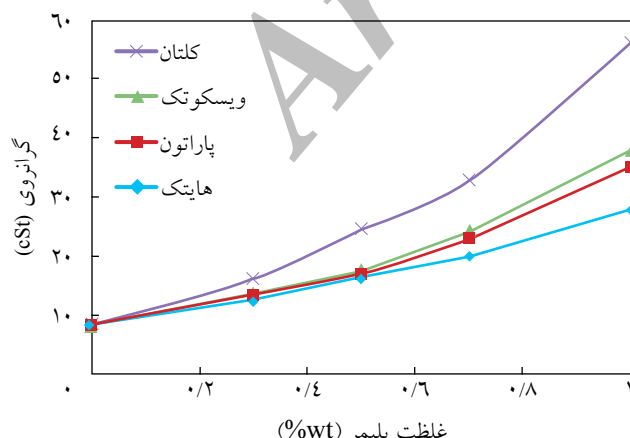
پلیمر	اظاهر	نوع کوپلیمر اولفینی	وزن مولکولی (محاسبه شده)	مقدار اتیلن (%wt)	شاخص پایداری برشی (%)
هایتك ۵۷۸۰	قالب سفید	خطی	۱۷۱۶۸۳ (توزیع باریک)	۴۹	۲۲
پاراتون ۸۹۰۰	دانه	خطی	۱۷۲۸۶۰	۴۹	۲۴
ویسکوتک ۷۵۵۸	دانه	نیمه بلوری	۲۱۴۹۰۰	۷۱	۲۴
کلتان ۳۲۰۰	قالب سفید	خطی	۴۰۷۸۸۸	۴۹	۵۲



شکل ۱- تغییرات گرانروی روغن در دمای 40°C بر حسب غلاخت پلیمرهای مختلف.

۱ و ۲ تغییرات گرانروی محلول‌ها با افزودن غلاخت‌های متفاوت پلیمرهای بهبوددهنده شاخص گرانروی در دماهای 40 و 100°C ارایه شده است. همان‌طور که انتظار می‌رود، با افزایش غلاخت پلیمر، گرانروی محلول به طور مداوم افزایش یافته و این روند صعودی برای گرانروی در غلاخت‌های بیشتر پلیمر، از سرعت بالاتری برخوردار است.

این منحنی‌ها را می‌توان به دو ناحیه مجزا شامل ناحیه غلاخت‌های کم و ناحیه غلاخت‌های زیاد تقسیم‌بندی کرد. در ناحیه غلاخت‌های کم (تا غلاخت حدداً 0.05% وزنی) در دماهای 40 و 100°C ، پلیمرها از نظر کارایی افزایش گرانروی رفتار مشابهی دارند. در دمای 40°C برای سه پلیمر هایتک، پاراتون و ویسکوتک این تشابه رفتاری تا محدوده غلاخت 0.07% ادامه دارد. نکته جالب در این منحنی‌ها رفته کاملاً متفاوت پلیمر کلتان است. این پلیمر نسبت به سایر پلیمرها



شکل ۲- تغییرات گرانروی روغن در دمای 100°C بر حسب غلاخت پلیمرهای مختلف.

در این معادله [۷] گرانروی ذاتی در دمای 25°C ، K و α ثابت و به ترتیب برابر با 2.92×10^{-4} و $0.759^{5,13}$ و M_v وزن مولکولی گرانروی است. معادله استفاده شده برای تعیین شاخص گرانروی در این مطالعه به شکل زیر است [۱۱, ۱۴]، اگرچه این پارامتر را بر اساس سایر شیوه‌های نوین نیز می‌توان محاسبه کرد [۱, ۱۵]:

$$N = \frac{\log H - \log U}{\log L} \quad (2)$$

$$\text{شاخص گرانروی} = \frac{\text{antiLogN}-1}{0.00715} + 100 \quad (3)$$

در این معادله U و L به ترتیب گرانروی محلول در دماهای 40 و 100°C است. ثابت H نیز از استاندارد ASTM قابل استخراج است.

پایداری برشی

هدف از این آزمون، سنجش مقدار افت گرانروی روغن‌ها در اثر تنش‌های مکانیکی وارد شده در موتور است. این آزمون بر اساس روش استاندارد ASTM D6278 [۱۶] انجام شد. مقدار افت گرانروی تحت برش بر اساس پارامترهایی هم‌چون پایداری برشی، شاخص گرانروی برشی، افت گرانروی مطلق و درصد کاهش شاخص گرانروی گزارش شد.

تعیین گرانروی در دماهای کم تحت برش مکانیکی
آزمون شبیه‌ساز برش سرد (cold cranking simulator, CCS) برای تعیین گرانروی ظاهری روغن موتور در محدوده دماهای پایین (بین 5 تا 35°C) و هم‌چنین تنش‌های برشی 50000 تا 100000 Pa و سرعت‌های برش 10^4 تا 10^5 s^{-1} انجام می‌شود. نتایج حاصل از این آزمون به ویژگی‌های روغن موتور در لحظه آغاز به کار موتور مربوط می‌شود. این آزمون در دمای 15°C و مطابق استاندارد ASTM D5293 [۱۷] انجام شد.

نتایج و بحث

گرانروی سنجی محلول‌های پلیمری

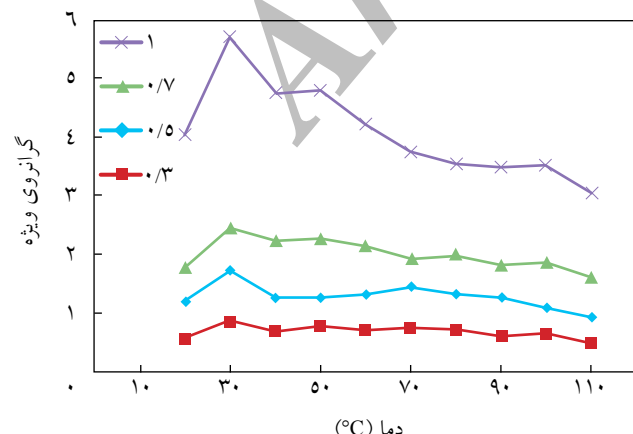
در راستای ارزیابی برهم‌کنش‌های پلیمر - حلal در محدوده دمایی گستره و نیز به دست آوردن اطلاعات درباره اندازه و شکل درشت‌مولکول در محلول و تحلیل رفتار پلیمرها در محلول‌های روغنی، گرانروی محلول‌های پلیمری ارزیابی شد. در شکل‌های

گرانروی ویژه

گرانروی ویژه (η_{sp}) معیاری از ابعاد مارپیچ پلیمری در حالت محلول است [۱۹، ۲۱، ۲۲]. مقادیر بیشتر این پارامتر نشان دهنده بزرگتر بودن ابعاد زنجیری در آن شرایط خاص است. قدرت غلیظ کنندگی یا خاصیت افزایش گرانروی برای یک پلیمر، در دما و غلظت معین نیز به وسیله گرانروی ویژه بیان می شود [۲۳]:

$$\eta_{sp} = \frac{\eta - \eta_0}{\eta_0} \quad (4)$$

در این معادله، η_0 گرانروی روغن پایه و η گرانروی محلول پلیمری است. برای هر چهار محلول، با افزایش غلظت پلیمر، گرانروی ویژه نیز افزایش می یابد. روند تغییرات گرانروی ویژه نسبت به دما به جز در ناحیه دماهای پایین که به شکل یک پیک مشاهده می شود، در سایر دماها روند نزولی طی می کند (شکل های ۳ تا ۶). الگوی رفتاری این نوع کوپلیمرهای اولفینی با یکدیگر مشابه است. بر اساس گزارش های ارایه شده در سایر مقالات [۲۲، ۲۴]، کوپلیمرهای اولفینی در محدوده دماهای پایین (حدوداً 20°C) دارای بیشترین گرانروی ویژه اند و با افزایش دما، گرانروی ویژه به آهستگی کاهش می یابد. اگرچه برای سایر پلیمرهای بهبوددهنده شاخص گرانروی هم چون پلی متاکریلات ها [۱۸] و کوپلیمرهای دی اتی هیدروژن دار شده و حتی پلیمرهای ستاره ای الگوهای رفتاری کاملاً متفاوتی مشاهده شده است [۲۲، ۲۵]. مثلاً برای کوپلیمرهای دی اتی هیدروژن دار شده، تغییرات گرانروی ویژه بر حسب دما به شکل کاهشی است و هیچ پیکی در منحنی ظاهر نمی شود. اگرچه برای این نوع پلیمرها تغییر شبیه محسوسی در محدوده دمایی 10°C - 100°C به چشم می خورد. برای پلیمرهای متاکریلاتی نیز در محدوده دمایی 10°C - 100°C ، روند نزولی در

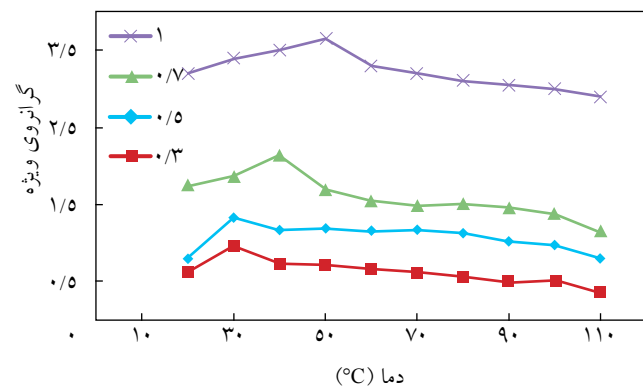


شکل ۴- تغییرات گرانروی ویژه بر حسب دما برای غلظت های مختلف ویسکوتک.

در هر دو دمای 40 و 100°C قدرت بیشتری برای افزایش گرانروی محلول دارد. به ازای 1% وزنی از این پلیمر، گرانروی روغن در دمای 40 و 100°C بیش از ۷ برابر قابل افزایش است. این در حالی است که سایر پلیمرها گرانروی روغن را تا حدود ۵ برابر افزایش می دهند. تفاوت این نوع پلیمرها در 100°C نسبت به 40°C ، بیشتر قابل توجه است که این امر را می توان به افزایش حرکت زنجیرها در دمای بالاتر نسبت داد [۱۸].

در محلول های رقیق، مارپیچ های پلیمری به حالت کاملاً آزاد و با فاصله دور از یکدیگر در حلال اطراف شناورند [۱۹]. رفتار محلول های پلیمری در غلظت های کم را می توان برای تخمین رفتار روان کننده در کاربرد نهایی آنها مورد استفاده قرار داد، زیرا در روغن های روان کننده مقدار مصرف پلیمر کم است. افزایش گرانروی می تواند به عواملی مانند ماهیت روغن پایه، غلظت ماده افروزندی (پلیمر)، ساختار شیمیایی پلیمر و نیز وزن مولکولی آن ارتباط پیدا کند [۲۰].

در محلول های نیمه رقیق چون پدیده هم پوشانی اتفاق می افتد، خواص محلول نسبت به حلال خالص بسیار متفاوت است. در این محلول ها، در حجم محصور شده یک مارپیچ معین می توان هم حلال و هم سایر زنجیرها در حجم محصور شده هر زنجیر وجود دارد. از این رو باید توجه داشت، اندازه زنجیر و در نتیجه حجم محصور شده آن وابسته به غلظت پلیمر است. هر چه وزن مولکولی پلیمر بیشتر باشد، در غلظت های کمتری می توان به غلظت هم پوشانی دست یافت [۲۱]. بر اساس نتایج ارایه شده در نگاه اول می توان به اثر غلیظ کنندگی بیشتر کلتان نسبت به سایر پلیمرها پی برد. اگرچه سایر ویژگی ها هم چون شاخص گرانروی ویژه، گرانروی ویژه، نسبت گرانروی و سایر پارامترها را نیز باید برای تعیین پلیمر بهینه در این زمینه بررسی کرد.



شکل ۳- تغییرات گرانروی ویژه بر حسب دما برای غلظت های مختلف هایتک.

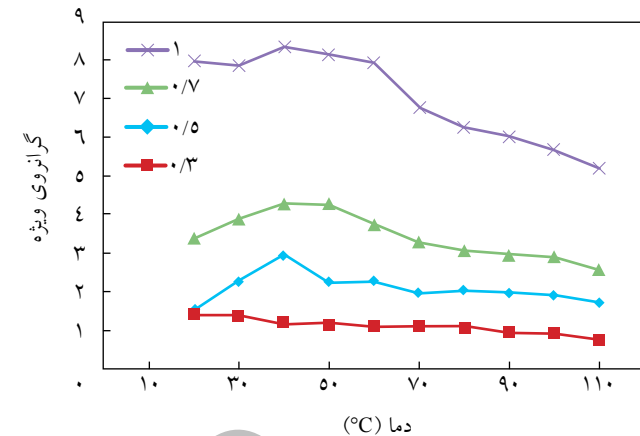
نکته قابل توجه برای ویسکوتک این است که با افزایش غلظت، پیک منحنی بدون هیچ انتقالی به دماهای بالاتر، در دمای 30°C باقی می‌ماند. هم‌چنین باید توجه داشت، سرعت تغییرات گرانروی ویژه در محدوده دمایی کم تا دمای 30°C نسبت به سایر پلیمرها بیشتر است. علت چنین تغییراتی را می‌توان به ساختار شیمیایی این پلیمر ارتباط داد. ویسکوتک در اصل نوعی کوپلیمر اولفینی نیمه‌بلوری به حساب می‌آید. در دماهای کم، (دمای صفر تا 30°C)، این پلیمر تمایل به تشکیل بلور دارد، به طوری که با کاهش دما و کاهش حرکت زنجیرها، پلیمر قابلیت تبلور می‌یابد. در نتیجه، کاهش حجم و ابعاد مارپیچ‌ها در آن به وقوع می‌پیوندد. همین امر دلیل کاهش چشمگیر در مقادیر گرانروی ویژه محلول است.

همانند هایتک، روند نزولی در گرانروی ویژه ویسکوتک پس از پیک ایجاد شده، به چشم می‌خورد. هم‌چنین، روند نزولی در گرانروی ویژه برای غلظت 1% نسبت به سایر غلظت‌ها بسیار چشمگیر است. برای کلتان نیز روند مشابهی مشاهده می‌شود. با این تفاوت که بیشترین گرانروی ویژه پلیمر ایجاد شده در 30°C و وزنی در دمای 40°C دیده می‌شود (شکل ۵). هم‌چنین، پلیمر مزبور در تمام غلظت‌ها نسبت به سایر پلیمرها بیشترین مقدار گرانروی ویژه را در سراسر محدوده دمایی مورد آزمایش دارد. با افزایش غلظت، علاوه بر جا به جایی پیک به سمت دماهای بیشتر، پیک ایجاد شده در منحنی گستردگی بیشتری دارد. در غلظت 1% وزنی محدوده پیک از دمای 30°C تا 70°C است.

برای پاراتون نیز در غلظت‌های کم، با افزایش دما به بیش از دمای بحرانی (پیک منحنی)، گرانروی ویژه تقریباً مستقل از دما می‌شود. جا به جایی پیک به سمت دماهای بالا با افزایش غلظت نیز در این پلیمر مشاهده می‌شود (شکل ۶).

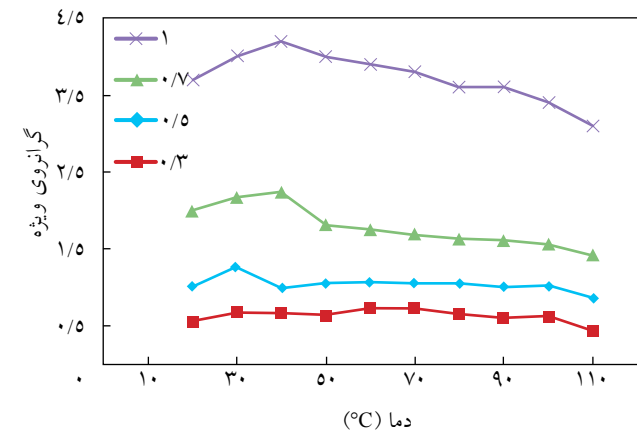
مشاهده الگوی رفتاری مشابه در پلیمرهای بررسی شده در این پژوهش نشان از تشابه ساختاری این نوع پلیمرها دارد. از این رو انتظار می‌رود، این پلیمرها از نظر پارامترهای گرانروی تغییرات مشابهی برای روغن فراهم آورند.

در غلظت‌های کم، در محدوده دمایی $50-110^{\circ}\text{C}$ گرانروی ویژه مستقل از دماست. از این رو مشاهده می‌شود، این نوع کوپلیمرهای اولفینی در محدوده دمایی پایین دارای اثر غلیظ‌کنندگی بیشتر هستند. این پدیده می‌تواند مربوط به برهم‌کنش‌های بین مولکولی قوی‌تر باشد [۲۲، ۲۶] به نحوی که در این محدوده دمایی دافعه مونومرهای زنجیر از یک‌دیگر بیشتر است و ابعاد زنجیر بزرگ‌تر می‌شود. هم‌چنین با افزایش غلظت، شب تغییرات گرانروی ویژه در تمام محدوده دمایی مورد مطالعه افزایش می‌یابد که نشان‌دهنده وابستگی زیاد تغییرات



شکل ۵- تغییرات گرانروی ویژه بر حسب دما برای غلظت‌های مختلف کلتان.

گرانروی ویژه مشاهده شده است و با افزایش دما، گرانروی ویژه به آهستگی افزایش می‌یابد. با توجه به شکل ۳، برای پلیمر هایتک بیشترین گرانروی ویژه با غلظت‌های $0/3$ و $0/5$ درصد وزنی و در دمای 30°C مشاهده می‌شود. با افزایش غلظت، به ازای $0/7$ و 1 درصد وزنی پلیمر، بیشترین گرانروی ویژه به ترتیب در دماهای 40 و 50°C مشاهده می‌شود. پس از عبور از این پیک، در همه غلظت‌ها روند کاهشی در گرانروی ویژه احساس می‌شود. اگر چه باید توجه داشت که روند نزولی گرانروی ویژه با افزایش دما برای غلظت‌های بیشتر چشمگیرتر است. این امر به دلیل وجود شبکه سه‌بعدی از زنجیرها در غلظت‌های بیشتر است، به طوری که زنجیرهای پلیمری بیشتر در تماس با یک‌دیگر قرار دارند. با افزایش دما به دلیل افزایش حرکت زنجیرها احتمال شکست این نوع شبکه فیزیکی بیشتر است و بنابراین تغییرات قابل ملاحظه‌تری مشاهده می‌شود.



شکل ۶- تغییرات گرانروی ویژه بر حسب دما برای غلظت‌های مختلف پاراتون.

پدیده حاکی از رفتار مستقل آن از غلظت است. می‌توان نتیجه گرفت برای هر پلیمر، تا غلظت مشخصی قدرت غلیظکنندگی مناسب دیده می‌شود با افزایش غلظت به دلیل اثر هم‌پوشانی زنجیرها از کارایی غلیظکنندگی آنها کاسته می‌شود. باید توجه داشت، پدیده هم‌پوشانی برای پلیمر کلتان سریع‌تر و اثرگذارتر اتفاق می‌افتد که علت این امر وزن مولکولی بیشتر آن نسبت به سایر پلیمرهای است.

نسبت گرانزوی (VR)

نسبت گرانزوی محلول‌های پلیمری به شکل معادله (۶) تعریف می‌شود. بزرگ‌تر بودن این پارامتر حاکی از بازده بیشتر پلیمر در جهت افزایش شاخص گرانزوی و در پی آن حساسیت دمایی کمتر روغن است [۲۷]. به بیانی دیگر، کارایی پلیمر برای افزایش گرانزوی در دماهای بالا نسبت به دماهای پایین بیشتر است. نتایج به دست آمده برای چهار پلیمر تجاری بهبوددهنده شاخص گرانزوی مطالعه شده، در جدول ۴ ارایه شده است. برای هر چهار پلیمر با افزایش غلظت، نسبت گرانزوی افزایش و سپس کاهش می‌یابد. برای هر چهار پلیمر، غلظت بهینه از نظر نسبت گرانزوی، غلظت ۰/۰۵٪ وزنی است که با افزایش بیشتر غلظت، این پارامتر کاهش می‌یابد. علت کاهش نسبت گرانزوی با افزایش غلظت به بیشتر از مقدار بهینه را می‌توان به اثر هم‌پوشانی زنجیرها و احتمال تجمع آنها ارتباط داد. به عبارتی دیگر، از کارایی آنها به عنوان ماده افزایش‌دهنده شاخص گرانزوی کاسته می‌شود. باید توجه داشت، کلتان در تمام غلظت‌ها از کمترین مقدار نسبت گرانزوی برخوردار است. این موضوع بر کارایی ضعیفتر کلتان در کاهش حساسیت دمایی روغن دلالت دارد و تنها به عنوان یک تعییظکننده روغن به حساب می‌آید:

$$VR = \frac{\eta_{100^\circ C}}{\eta_{40^\circ C}} \quad (6)$$

جدول ۴- تغییرات نسبت گرانزوی بر حسب غلظت برای پلیمرهای بهبوددهنده شاخص گرانزوی.

پلیمر	غلظت(٪)			
	۱	۰/۷	۰/۵	۰/۳
هایتک	۰/۰۹۰۳	۰/۰۹۵۴	۰/۱۱۴۴	۰/۱۱۰۹
پاراتون	۰/۱۰۱۱	۰/۱۰۶۱	۰/۱۲۷۵	۰/۱۲۲۰
ویسکوتک	۰/۰۹۹۳	۰/۱۱۱۷	۰/۱۲۷۰	۰/۱۲۲۱
کلتان	۰/۰۸۳۸	۰/۰۹۳۵	۰/۰۹۳۵	۰/۱۱۰

بعد زنجیرها و مارپیچ‌ها به غلظت پلیمر در محلول است. بزرگ‌تر بودن ابعاد مارپیچ در محدوده دمایی ۴۰-۳۰°C نسبت به سایر دماهای به این معنی است که در این محدوده دمایی زنجیرهای پلیمر در متورم‌ترین حالت قرار دارد. به عبارت دیگر، در چنین محدوده دمایی حلal از کیفیت بهتری نسبت به دماهای بالاتر برخوردار است [۱۴]. باید توجه داشت، اگر در دمای پایین پلیمر در یک حلal خوب باشد، نظر به این که برهم‌کنش‌های حلal - پلیمر زیاد باشند، قدرت غلیظکنندگی با دما افزایش نمی‌یابد. به نوعی می‌توان اظهار داشت، با افزایش دما کیفیت حلal بهبود نمی‌یابد، زیرا در محدوده دمایی ۳۰-۴۰°C حلal در مناسب‌ترین کیفیت خود قرار دارد.

قدرت غلیظکنندگی

تمایل افزایش گرانزوی یا قدرت غلیظکنندگی به شکل نسبت گرانزوی ویژه در دمای ۱۰۰°C به گرانزوی ویژه در دمای ۴۰°C تعریف می‌شود [۲۰]:

$$Q = \frac{\eta_{sp}(100^\circ C)}{\eta_{sp}(40^\circ C)} \quad (5)$$

بیشترین قدرت غلیظکنندگی برای این نوع پلیمرها در محدوده دمایی ۲۰-۵۰°C است. روند نزولی گرانزوی ویژه نسبت به دما مشخص می‌کند، با افزایش دما از قدرت غلیظکنندگی پلیمرها کاسته می‌شود. قدرت غلیظکنندگی برای پلیمرهای هایتک و پاراتون، با افزایش غلظت تا ۰/۰۵٪ روند صعودی دارد. اما در غلظت‌های بیشتر، روند نزولی مشاهده می‌شود (جدول ۳). برای پلیمرهای ویسکوتک و کلتان نیز تنها روند نزولی مشاهده می‌شود. بر اساس نتایج ارایه شده، کلتان نسبت به سایر پلیمرها کارایی کمتری دارد، اما پاراتون تا مقدار بهینه غلظت، از کارایی بیشتری برخوردار است. کمترین تغییرات قدرت غلیظکنندگی مربوط به ویسکوتک است که این

جدول ۳- تغییرات پارامتر قدرت غلیظکنندگی بر حسب غلظت پلیمرهای بهبوددهنده شاخص گرانزوی.

پلیمر	غلظت(٪)			
	۱	۰/۷	۰/۵	۰/۳
هایتک	۰/۶۳۲	۰/۶۶۴	۰/۸۳۰	۰/۷۱۳
پاراتون	۰/۶۴۴	۰/۶۹۳	۱/۰۲۵	۰/۹۲۲
ویسکوتک	۰/۷۴۴	۰/۸۳۷	۰/۸۷۳	۰/۹۲۴
کلتان	۰/۶۰۸	۰/۶۸۲	۰/۶۷۵	۰/۷۸۰

بیشترین و هایتک کمترین گرانروی ذاتی را در تمام محدوده دمایی مطالعه شده نشان می‌دهد. بر این اساس می‌توان این موضوع را به ابعاد درشت‌مولکولی آنها ارتباط داد. کاهش اندک گرانروی ذاتی نسبت به دما را می‌توان به کاهش کیفیت حلال نسبت داد. کیفیت حلال برای این نوع پلیمرها در دمای حدوداً 30°C از مناسب‌ترین وضعیت برخوردار است.

با دقت بیشتر می‌توان دید، شبیه تغییرات گرانروی ذاتی در محدوده دمایی پایین برای پلیمر ویسکوتک نسبت به سایر پلیمرها بیشتر است. این پدیده ناشی از وقوع تبلور در محدوده دمایی پایین برای این پلیمر است. به طور کلی برای پلیمرهای بهبوددهنده شاخص گرانروی، گرانروی ذاتی تغییرات اندکی نسبت به دما نشان می‌دهد. به طور کلی، پارامترهایی هم‌چون گرانروی ویژه و گرانروی ذاتی نشان می‌دهند که در دماهای های پایین، برهم‌کنش‌های پلیمر - روغن قوی‌تر از برهم‌کنش‌های پلیمر - پلیمر است. همین امر دلیل افت کیفیت ترمودینامیکی حلال در اثر افزایش دماست. بزرگ‌تر بودن ابعاد مارپیچ در محدوده دمایی 30°C - 40°C نسبت به سایر دماهای، به این معنی است که در این محدوده دمایی زنجیرهای پلیمری در متورم‌ترین حالت قرار دارند. به عبارت دیگر، در چنین محدوده دمایی حلال از کیفیت بهتری نسبت به دماهای بالاتر برخوردار است. باید توجه داشت، اگر در دمای پایین انحلال‌پذیری پلیمر در یک حلال خوب باشد، نظر به این که برهم‌کنش‌های حلال پلیمر زیاد باشد، قدرت غلیظ‌کنندگی با دما افزایش نمی‌یابد. به نوعی می‌توان اظهار داشت، با افزایش دما کیفیت حلالیت بهبود نمی‌یابد، زیرا در محدوده دمایی 30°C - 40°C حلال در مناسب‌ترین کیفیت قرار دارد. از بررسی رفتار گرانروی ذاتی نسبت به دما به کاهش کیفیت ترمودینامیکی حلال می‌توان پی‌برد.

به طور کلی، پارامترهایی هم‌چون گرانروی ویژه و گرانروی ذاتی نشان می‌دهند که در دماهای پایین، برهم‌کنش‌های پلیمر - روغن قوی‌تر از برهم‌کنش‌های پلیمر - پلیمر است. این نتیجه‌گیری از به دست آمدن بیشترین گرانروی ذاتی برای پلیمرها در دمای حدوداً 30°C درجه ناشی می‌شود. با افزایش دما نه تنها افزایش چندانی در گرانروی ذاتی دیده نمی‌شود، بلکه روند نزولی نیز مشاهده می‌شود و همین امر دلیل افت کیفیت ترمودینامیکی حلال در اثر افزایش دماست.

مارپیچ‌های پلیمری در حلال‌ها و دماهای مختلف به مقدار متفاوتی متورم می‌شوند. تمایل ترمودینامیکی حلال به پلیمر به وسیله ابعاد مؤثر زنجیر بیان می‌شود [۲۸]. گرانروی ذاتی محلول پلیمری در یک حلال خوب بیشتر از یک حلال ضعیف است. اگر تمایل ترمودینامیکی با افزایش دما افزایش نشان دهد، ابعاد مارپیچ پلیمری بزرگ‌تر شده و با افزایش دما گرانروی ذاتی افزایش می‌یابد [۲۹]. در شکل ۷، می‌توان رفتار این نوع پلیمرها را در غلظت $0/5$ درصد وزنی از نظر گرانروی ذاتی بر حسب دما با یک‌دیگر مقایسه کرد. نکته جالب در منحنی مذبور این است که رفتار این نوع پلیمرها همانند رفتار آنها از نظر گرانروی ویژه است. در اینجا نیز کلتان

گرانروی ذاتی

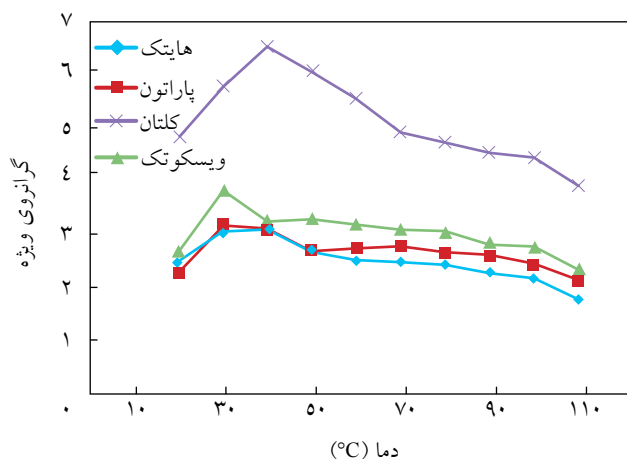
گرانروی ذاتی [۱] (معادله ۷)، معیاری از ابعاد مارپیچ پلیمری در حالت محلول است. به طور کلی، گرانروی ذاتی را می‌توان به عنوان عامل تورم درشت‌مولکولهای پلیمری در نظر گرفت. هم‌چنین، گرانروی ذاتی به وزن مولکولی پلیمر و متوسط مربع فاصله انتها تا انتهای زنجیر پلیمر معادله (۸)، ارتباط داده شده است [۲۲]:

$$[\eta] = \lim_{C \rightarrow 0} \left(\frac{n_{sp}}{C} \right)^*$$
 (۷)

$$[\eta] = \varphi(r^2)^{3/2} M$$
 (۸)

در معادله (۸) نشان داده شده که گرانروی ذاتی تابعی از وزن مولکولی پلیمر است و برای پلیمر با وزن مولکولی بیشتر باید به گرانروی ذاتی بیشتر دست یافت. بر این اساس روند تغییرات گرانروی ذاتی پلیمرها در شکل ۷ ارایه شده است تا به رده‌بندی این پلیمرها از نظر وزن مولکولی نیز پی‌برد.

مارپیچ‌های پلیمری در حلال‌ها و دماهای مختلف به مقدار متفاوتی متورم می‌شوند. تمایل ترمودینامیکی حلال به پلیمر به وسیله ابعاد مؤثر زنجیر بیان می‌شود [۲۸]. گرانروی ذاتی محلول پلیمری در یک حلال خوب بیشتر از یک حلال ضعیف است. اگر تمایل ترمودینامیکی با افزایش دما افزایش نشان دهد، ابعاد مارپیچ پلیمری بزرگ‌تر شده و با افزایش دما گرانروی ذاتی افزایش می‌یابد [۲۹]. در شکل ۷، می‌توان رفتار این نوع پلیمرها را در غلظت $0/5$ درصد وزنی از نظر گرانروی ذاتی بر حسب دما با یک‌دیگر مقایسه کرد. نکته جالب در منحنی مذبور این است که رفتار این نوع پلیمرها همانند رفتار آنها از نظر گرانروی ویژه است. در اینجا نیز کلتان



شکل ۷- مقایسه گرانروی ذاتی پلیمرهای مختلف به ازای غلظت $0/5$ درصد وزنی در محدوده دمایی گستردۀ.

زیاد می شود. شاخص گرانزوی محلول های پلیمری مطالعه شده در محدوده غلظت های $0/3-1/0$ درصد وزنی محاسبه و در جدول ۵ ارایه شدند. بر این اساس، با افزایش غلظت برای پلیمرهای ویسکوتک و کلتان روند افزایشی در شاخص گرانزوی مشاهده می شود، اما برای پلیمرهای هایتک و پاراتون این روند افزایشی با نوساناتی همراه است. در بین این پلیمرها در همه غلظت ها، پاراتون و ویسکوتک کارابی بیشتری دارند. اگرچه تصور بر این بود که کلتان با بیشترین وزن مولکولی باید بهترین کارابی را از نظر افزایش شاخص گرانزوی از آن خود کند، اما این طور نیست. بر این اساس می توان نتیجه گرفت که تنها وزن مولکولی نمی تواند سبب افزایش کارابی پلیمرهای بهبوددهنده شاخص گرانزوی شود [۳۰] و ساختار مولکولی نیز اهمیت زیادی دارد.

انرژی فعال سازی

از انرژی فعال سازی می توان برای توصیف کیفیت رفتار جریانی محلول های پلیمری استفاده کرد. افزایش قابل توجه انرژی فعال سازی نشان دهنده تشکیل ساختار پلیمر - پلیمر و پلیمر - روغن است [۲۸]. افزایش انرژی فعال سازی با کاهش غلظت پلیمر می تواند ناشی از تشکیل شبکه نیرومند بین پلیمر و مولکول های روغن نسبت به مولکول های پلیمر - پلیمر باشد. انرژی فعال سازی در بسیاری از سامانه ها بر اساس یک معادله کلی معین می شود:

$$X = X_0 \exp\left(-\frac{E_a}{RT}\right) \quad (9)$$

در این معادله، X نقش گرانزوی (η) را داشته و E_a انرژی فعال سازی، R ثابت جهانی گازها و T نیز دمای مطلق است. با ترسیم $\log \eta/\eta_0$ بر حسب $1/T$ و به دست آوردن شبکه این منحنی که در واقع معادل با E_a/R است، می توان انرژی فعال سازی را برای هر محلول معین کرد

جدول ۶- انرژی فعال سازی در محدوده های دمایی مختلف برای روغن پایه.

انرژی فعال سازی (J/mol)	محدوده دمایی (°C)
۲۱۰۳۴	۲۰-۴۰
۱۶۸۵۵	۴۰-۶۰
۱۳۲۱۰	۶۰-۹۰
۱۰۵۰۸	۹۰-۱۱۰

پلیمری متورم می شود. یک زنجیر مارپیچی مقاومت هیدرودینامیکی کمتری نسبت به یک زنجیر باز نشان می دهد و از این رو گرانزوی ذاتی محلول پلیمری در حال خوب بیشتر از حال ضعیف خواهد بود. گرانزوی ذاتی وابسته به دماست.

اگر تمایل ترمودینامیکی با افزایش دما افزایش نشان دهد، ابعاد مارپیچ پلیمری بزرگ تر شده و با افزایش دما گرانزوی ذاتی افزایش می یابد. انتباخ زنجیر مقاومت کمتری را در برابر جریان ایجاد می کند. بر این اساس کیفیت ترمودینامیکی حال حاضر یافته و حال ضعیف تر شده است که این امر می تواند ناشی از کاهش دما باشد. این در حالی است که با افزایش دما، گرانزوی ذاتی نه تنها افزایشی نشان نمی دهد، بلکه اندکی با دما کاهش می یابد که این امر را می توان به کاهش کیفیت حال حاضر نسبت داد.

بر این اساس کیفیت حال حاضر برای این نوع پلیمرها در دمای حدوداً 30°C از مناسب ترین وضعیت برخوردار است، زیرا بیشترین گرانزوی ذاتی در این دما دیده می شود (شکل ۷). مشاهده می شود، این نوع کوپلیمرهای اولفینی در این محدوده دمایی اثر غلیظ کنندگی بیشتری دارند. این پدیده مربوط به برهم کنش های بین مولکولی قوی تر است به نحوی که در این محدوده دمایی دافعه مونومرها از یک دیگر بیشتر است و ابعاد زنجیر بزرگ تر می شود.

شاخص گرانزوی

تغییرات گرانزوی نسبت به دما را شاخص گرانزوی گویند که عددی بدون بعد است. برای روغنی که در محدوده وسیعی از دما استفاده می شود، لازم است این شاخص، عدد بزرگی باشد. به طور کلی، شاخص گرانزوی عددی اختیاری است که مقاومت روغن در برابر تغییرات گرانزوی را در اثر تغییرات دما نشان می دهد [۱۴]. اگر شاخص گرانزوی عدد بزرگی باشد، مقاومت روغن در برابر افزایش گرانزوی در دماهای پایین و در برابر کاهش گرانزوی در دماهای بالا

جدول ۵- تغییرات شاخص گرانزوی بر حسب غلظت برای پلیمرهای بهبوددهنده شاخص گرانزوی.

پلیمر	غلظت(%)			
	۱	۰/۷	۰/۵	۰/۳
هایتک	۱۲۸/۳۰	۱۱۶/۲۳	۱۲۱/۵۳	۱۰۳/۲۹
پاراتون	۱۳۹/۷۱	۱۳۰/۴۲	۱۳۸/۸۳	۱۲۰/۴۹
ویسکوتک	۱۴۶/۷۰	۱۳۹/۰۵	۱۲۹/۵۸	۱۱۹/۶۸
کلتان	۱۴۵/۹۰	۱۳۳/۲۷	۱۱۸/۸۵	۱۱۶/۸۴



شکل ۸- مقایسه گرانزوی محلول‌های پلیمری مختلف پیش و پس از فرایند برش مکانیکی.
٪ وزنی است.

پایداری بوشی

نیروهای مکانیکی سبب کشیده شدن زنجیر می‌شوند. هنگامی که زنجیر دیگر تاب مقاومت در برابر نیرو را نداشته باشد، شکست زنجیر اتفاق می‌افتد و زنجیرهایی با وزن مولکولی کمتر ایجاد می‌شود. نیروهای برشی نیز منجر به آرایش یافته‌گی زنجیرها می‌شوند که در نتیجه تنها افت موقت گرانزوی را برای روغن به دنبال دارند. کاهش طول زنجیرهای پلیمر منجر به کاهش دائم گرانزوی روغن در تمام دماها می‌شود [۶]. برخلاف اتفاف برشی معمول که نوعی پدیده برگشت پذیر برای گرانزوی روغن به شمار می‌رود (افت موقت)، افت گرانزوی دائم نوعی تخریب برگشت پذیر برای گرانزوی روغن به حساب می‌آید [۳۲]. از این‌رو، هنگامی که روغن موتور برای کاربردهای تجاری استفاده می‌شود، باید این اتفاف گرانزوی را منظور کرد.

با توجه به شکل‌های ۸ و ۹، پلیمر کلتان بیشترین گرانزوی را



شکل ۹- مقایسه گرانزوی محلول‌های پلیمری مختلف پیش و پس از فرایند برش مکانیکی.

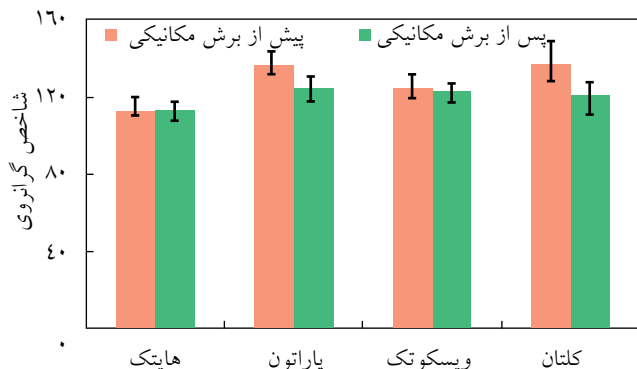
جدول ۷- انرژی فعال‌سازی (J/mol) در محدوده دمایی مختلف برای غلظت‌های متفاوت پلیمرهای مصرفی.

پلیمر	محدوده دمایی (°C)	غلظت (%)			
		۰/۳	۰/۵	۰/۷	۱
هایتك	۲۰-۴۰	۱۹۴۶۷	۱۸۴۹۸	۱۷۶۹۲	۲۰۳۸۵
	۴۰-۶۰	۲۱۱۳۸	۲۱۰۰۹	۱۷۱۴۳	۱۷۱۳۵
	۶۰-۹۰	۱۵۵۵۱	۱۳۷۹۹	۱۴۱۰۰	۱۴۷۱۵
	۹۰-۱۱۰	۱۴۰۰۳	۱۳۶۵۱	۱۳۰۶۱	۱۳۰۶۱
پاراتون	۲۰-۴۰	۲۰۱۱۰	۲۰۱۳۴	۱۹۴۴۵	۱۹۸۴۲
	۴۰-۶۰	۱۸۰۰۶	۱۷۵۶۵	۱۶۶۷۶	۱۶۱۲۱
	۶۰-۹۰	۱۴۱۳۲	۱۴۸۹۰	۱۴۲۲۱	۱۴۳۴۲
	۹۰-۱۱۰	۱۳۷۸۹	۱۳۹۸۸	۱۳۱۲۲	۱۳۲۳۴
ویسکوتک	۲۰-۴۰	۱۸۸۳۱	۱۸۴۶۵	۲۰۶۰۲	۱۹۶۹۵
	۴۰-۶۰	۱۸۴۵۷	۱۷۵۷۷	۱۶۴۶۱	۱۶۳۶۱
	۶۰-۹۰	۱۵۴۱۴	۱۴۴۳۳	۱۳۵۸۵	۱۴۲۱۶
	۹۰-۱۱۰	۱۳۶۵۱	۱۲۴۷۱	۱۴۸۴۰	۱۲۲۸۸
کلتان	۲۰-۴۰	۲۰۴۲۷	۱۸۱۸۲	۱۶۵۴۴	۱۸۰۷۴
	۴۰-۶۰	۱۷۵۷۵	۱۸۸۴۷	۱۷۱۴۳	۱۷۵۶۷
	۶۰-۹۰	۱۶۶۶۱	۱۶۰۴۶	۱۴۲۳۳	۱۴۱۰۰
	۹۰-۱۱۰	۱۳۶۵۱	۱۳۰۶۱	۱۳۰۶۱	۱۳۶۵۱

[۱۵]. برای تعیین دقیق‌تر این پارامتر، محدوده دمایی مورد بررسی به چهار محدوده کوچک‌تر تقسیم‌بندی شد. نتایج به دست آمده برای روغن پایه و محلول‌های پلیمری به ترتیب در جدول‌های ۶ و ۷ ارایه شده است. بر اساس اطلاعات حاصل می‌توان نتایج زیر را بیان کرد:

- برای همه محلول‌ها، با افزایش غلظت پلیمر غلظت پلیمر مشاهده می‌شود.
- با افزایش دما، کاهش انرژی فعال‌سازی برای همه محلول‌های پلیمری مشاهده می‌شود که این کاهش در محدوده ۷ kJ/mol است. اگرچه مقدار تغییرات اتفاق افتاده برای روغن پایه خالص در حدود ۱۱ kJ/mol است (جدول ۶). این موضوع نشان می‌دهد، پلیمرها قابلیت کاهش حساسیت انرژی فعال‌سازی سامانه را نسبت به دما دارند [۳۱]. به عبارت دیگر، با افروختن پلیمرهای بهبوددهنده شاخص گرانزوی، حساسیت دمایی روغن کاهش می‌یابد.

در محدوده دمایی پایین (۲۰-۴۰°C)، انرژی فعال‌سازی روغن پایه بیشتر از محلول‌های پلیمری است، اما با افزایش دما روند معکوسی دیده می‌شود. مشخص می‌شود، نقش پلیمرها در دماهای بالا پرنگ‌تر است که این موضوع یکی از ظایف اصلی پلیمرهای بهبوددهنده شاخص گرانزوی به شمار می‌رود. برای این نوع محلول‌های پلیمری، غلظت بهینه که در آن کمترین تغییرات انرژی فعال‌سازی بر حسب دما مشاهده می‌شود، بین غلظت‌های ۰/۵ تا



شکل ۱۰- مقایسه شاخص گرانزوی محلول‌های پلیمری مختلف با غلظت ۷/۰ درصد وزنی پیش و پس از فرایند برش مکانیکی.

محاسبه می‌شود:

$$\frac{\eta_1 - \eta_2}{\eta_1} \times 100 = \text{اتلاف مطلق گرانزوی} \quad (10)$$

در این معادله، η_1 و η_2 به ترتیب گرانزوی محلول پلیمری پیش و پس از اعمال برش مکانیکی است. باز هم مشاهده می‌شود، افت گرانزوی در اثر اعمال برش مکانیکی برای کلتان بیشینه و برای هایتک کمینه است. پلیمرهای پاراتون و ویسکوتک نیز رفتار تقریباً مشابهی دارند (شکل ۱۱).

پایداری برشی و شاخص پایداری برشی

در این پژوهش، پلیمرهای کلتان، ویسکوتک، پاراتون و هایتک از نظر پایداری برشی و شاخص پایداری برشی (shear stability index, SSI) ارزیابی شدند. برای محاسبه پایداری برشی محلول‌های پلیمری تولیدی از معادله (۱۱) استفاده شد:

$$\frac{\eta_2}{\eta_1} \times 100 = \text{پایداری برشی} \quad (11)$$



شکل ۱۱- مقایسه اتلاف گرانزوی مطلق محلول‌های پلیمری پس از فرایند برش مکانیکی.

در دماهای ۴۰ و ۱۰۰°C برای روغن فراهم می‌آورد. پلیمرهای ویسکوتک، پاراتون و هایتک در رده‌های بعدی قرار دارند. با اعمال برش مکانیکی تغییرات قابل توجهی در ویژگی افزایش گرانزوی این پلیمرها اتفاق می‌افتد. گرانزوی در هر دو دمای ۴۰ و ۱۰۰°C برای همه پلیمرها کاهش می‌یابد که این پدیده برای گرانزوی برگشت‌ناپذیر خواهد بود [۳۳]. بیشترین تغییرات اتفاق افتاده در دماهای ۴۰ و ۱۰۰°C مربوط به کلتان و کمترین تغییرات مربوط به هایتک است. در مقایسه با این دو پلیمر، پلیمرهای پاراتون و ویسکوتک رفتار تقریباً مشابهی دارند.

برای نتیجه‌گیری بهتر کافی است، مقادیر شاخص گرانزوی این نوع محلول‌های پلیمری را پیش و پس از انجام آزمون برشی محاسبه و با یکدیگر مقایسه کرد. بر اساس شکل ۱۰ که تغییرات شاخص گرانزوی را برای محلول‌های با غلظت ۷/۰ درصد وزنی نمایش می‌دهد، پیش از انجام آزمون، کلتان بیشترین شاخص گرانزوی و هایتک کمترین شاخص گرانزوی را برای روغن فراهم آورده‌اند. هم‌چنین پس از این دو پلیمر، پاراتون در رده دوم و ویسکوتک در رده سوم قرار دارند.

اگرچه باید توجه داشت که مقادیر شاخص گرانزوی این محلول‌ها پس از آزمون به هم نزدیک می‌شود و حدوداً در محدوده ۱۱۳-۱۲۰ در در نگاه اول می‌توان دریافت، برش مکانیکی می‌تواند تغییرات قابل توجهی در پلیمرها فراهم آورد، به طوری که این پلیمرها در ابتدا اختلافات زیادی از نظر قدرت غلیظ‌کنندگی و بهبود شاخص گرانزوی با یکدیگر داشته اما با اعمال برش مکانیکی تقریباً همگی رفتار مشابهی نشان می‌دهند.

به عبارت دیگر، این پلیمرها پس از آزمون دارای ابعاد زنجیر و ساختار مشابه‌تری می‌شوند. بیشترین تغییرات رخ داده برای شاخص گرانزوی مربوط به پلیمر کلتان و کمترین آن به هایتک مربوط می‌شود. دو پلیمر پاراتون و ویسکوتک که در مراحل پیشین دارای رفتار تقریباً مشابهی از نظر خواص برشی بودند، پس از اعمال برش مکانیکی دچار تمایز قابل توجهی در شاخص گرانزوی می‌شوند. بر اساس شکل ۱۰، مقدار تغییرات شاخص گرانزوی برای پاراتون در حدود ۷/۱۸٪ و برای ویسکوتک ۱/۳٪ است. افت هر چه بیشتر شاخص گرانزوی به این معنی است که روغن در طول دوره کارکرد، حساسیت دمایی بیشتری پیدا می‌کند. به عبارت دیگر، وظیفه‌ای که یک پلیمر به عنوان کاهش‌دهنده حساسیت دمایی روغن باید ایفا کند، کم رنگ‌تر می‌شود [۷, ۲۶, ۳۴]. اتلاف مطلق گرانزوی از معادله (۱۰)

آنها دارد.

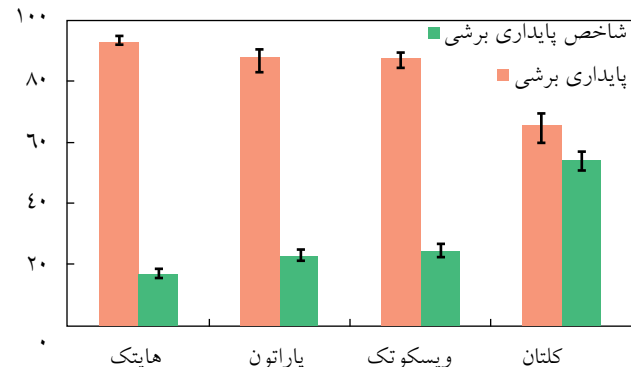
نتیجه دیگری که از بررسی این پارامترها می‌توان داشت، این است که پارامترهای مزبور نیز هم راستا و سازگار با یکدیگر کارایی برشی پلیمرها را مورد ارزیابی قرار می‌دهند و انحراف قابل توجهی در مقادیر حاصل برای آنها نسبت به سایر پارامتر مشاهده نمی‌شود. برای ایجاد تمایز بین دو پلیمر پاراتون و ویسکوتک راه حلی توسط نویسندها پیشنهاد شده که همان اندازه‌گیری شاخص گرانزوی پیش و پس از برش است. باید توجه داشت، استفاده از این راه حل در سایر مقالات و استانداردهای موجود ارجایه نشده است. زیرا طبق استاندارد ASTM D6278، گرانزوی روغن برش خورده در دمای 40°C گزارش نمی‌شود. از این رو، امکان محاسبه شاخص گرانزوی روغن پس از اعمال برش مکانیکی وجود ندارد.

با توجه به شکست زنجیرها، وزن مولکولی پلیمرها پس از آزمون پایداری برشی نیز اندازه‌گیری شد تا بتوان تعییرات اتفاق افتاده حین آزمون برش را با دقت بیشتری دنبال کرد. محاسبه وزن مولکولی پلیمرها پس از آزمون پایداری برشی از روش گرانزوی سنجی و محاسبه گرانزوی ذاتی و در نهایت استفاده از معادله مارک - هوینک (معادله ۱) به انجام رسید. ثابت‌های معادله مارک - هوینک برای یک زوج پلیمر - حلال در دمای مشخص ثابت است. این ثابت‌ها به گونه‌ای هستند که در یک محدوده گسترده، با تغییر وزن مولکولی، متوسط مریع فاصله دو انتهای زنجیر طوری تغییر می‌کند که نسبت آنها ثابت می‌ماند. مطابق با معادله موجود برای تعیین ضریب K، که به شکل زیر است، مشخص می‌شود با کاهش وزن مولکولی فاصله دو انتهای زنجیر پلیمری نیز کاهش می‌یابد. این تعییرات به گونه‌ای است که نسبت فاصله دو انتهای زنجیر به وزن مولکولی ثابت مانده و از این رو مقادیر K بدون تغییر می‌مانند:

$$K = \frac{R_0^2}{M}^{\frac{3}{2}} \quad (13)$$

جدول ۸- تعییرات وزن مولکولی (ΔMW) و گرانزوی ویژه پس از آزمون پایداری برشی.

Δn_{sp}	$\Delta\text{MW} (\%)$	پلیمر
در 100°C	در 40°C	
۰/۱۲۵۷	۰/۲۰۳۱	هایتک
۰/۲۴۱۱	۰/۱۸۲۳	پاراتون
۰/۲۶۹۷	۰/۳۹۰۸	ویسکوتک
۰/۹۴۲۹	۱/۱۰۳۸	کلتان



شکل ۱۲- مقایسه پایداری برشی و شاخص پایداری برشی محلول‌های پلیمری پس از فرایند برش مکانیکی:

بر اساس شکل ۱۲، پایداری برشی هایتک بیشینه و کلتان کمینه است و پلیمرهای پاراتون و ویسکوتک نیز کماکان رفتار مشابه دارند. هم‌چنین، با توجه به شاخص پایداری برشی، رده‌بندی زیر را از نظر کارایی مناسب، مشابه با پایداری برشی می‌توان ارجایه کرد:

کلتان < ویسکوتک < پاراتون < هایتک

شاخص پایداری برشی بیان کننده کسری از گرانزوی است که به وسیله پلیمر بهبوددهنده شاخص گرانزوی طی اعمال برش مکانیکی از بین رفته است و به شکل زیر قابل محاسبه است [۲۶، ۳۴]:

$$SSI = \frac{n_1 - n_2}{n_1 - n_0} \quad (14)$$

در این معادله، n_0 گرانزوی روغن پایه است. با توجه به مباحث ارجایه شده می‌توان پایداری برشی پلیمرها را در نگاه اول به وزن مولکولی آنها نسبت داد. با بررسی‌های به عمل آمده می‌توان دید که اثر وزن مولکولی کاملاً قابل توجه است، به طوری که اثر ساختار شیمیایی را تحت تأثیر خود قرار داده است. در سایر گزارش‌ها نیز شاخص پایداری برشی کوپلیمرهای اولفینی بهبوددهنده شاخص گرانزوی در محدوده ۲۳-۵۵ گزارش شده است [۲۶، ۳۵-۳۶].

اتفاق گرانزوی در اثر اعمال برش مکانیکی به شیمی پلیمر از جمله وزن مولکولی و توزع آن [۳۷]، نسبت اتین به پروپیلن و درجه شاخه‌ای شدن بستگی دارد [۲۶]. با توجه به اندازه‌گیری وزن مولکولی، در بین این پلیمرها کلتان دارای بیشترین وزن مولکولی و کمترین پایداری برشی است. هایتک نیز دارای کمترین وزن مولکولی و بیشترین پایداری برشی است. از این رو می‌توان نتیجه گرفت، پایداری برشی پلیمرها در محلول رابطه معکوسی با وزن مولکولی

روغنی دارای گرانزوی یکسان، اما با غلظت‌های متفاوت از هر پلیمر تهیه و آزمایش شد. با توجه به نمودار گرانزوی در دمای 100°C ، مقدار مصرف هر پلیمر برای دست‌یابی به گرانزوی 13 cSt معین و در جدول ۹ ارایه شد. این آزمون وابستگی زیادی به ترکیبات موجود در روغن پایه و هم‌چنین نوع و غلظت پلیمر استفاده شده دارد [۳۸]. با توجه به نتایج به دست آمده، هر چهار محلول پلیمری رفتار تقریباً مشابهی دارند. اگرچه در بین آنها پلیمر هایتک گرانزوی کمتری در دمای 15°C دارد. در بین این پلیمرها، هایتک از مناسب‌ترین کارایی برخوردار است. باید توجه داشت که به ازای گرانزوی یکسان در دمای 100°C برای همه محلول‌ها، مقدار مصرف هایتک از سایر پلیمرها بیشتر است. اما با وجود غلظت بیشتر، گرانزوی کمتری در دمای 15°C برای آغاز به کار موتور به روغن می‌بخشد. استفاده از این پلیمر افزون بر کارایی برشی بسیار مناسب، شرایط مطلوبی نیز در لحظه آغاز به کار موتور برای روان‌کننده تولیدی فراهم می‌آورد. از این‌رو، استفاده از چنین پلیمری برای تولید روغن موتورهای با کیفیت بالا پیشنهاد می‌شود.

نتیجه گیری

براساس نتایج به دست آمده از آزمون‌های تجربی می‌توان بیان کرد ساختار شیمیایی و وزن مولکولی پلیمرهای بهبوددهنده شاخص گرانزوی اثر قابل توجهی بر خواص گرانزوی، بازده غلیظ‌کنندگی، پایداری برشی و رفتارهای رئولوژیکی محلول‌های پلیمری در دماهای پایین و بالا دارد. به طور کلی، کارایی بیشتر برای پلیمر هایتک نسبت به سایر پلیمرها تشخیص داده شد. تنها ویژگی ضعیف این پلیمر قدرت غلیظ‌کنندگی به نسبت کمتر آن است. اگرچه به ازای غلظت‌های کم هم کارایی بهتری از نظر گرانزوی ویژه، گرانزوی ذاتی و شاخص گرانزوی برای آن مشاهده شد. باید اظهار داشت، کلتان با وجود قدرت غلیظ‌کنندگی زیاد، از نظر پایداری برشی بسیار ضعیف است. اما، پلیمرهای پاراتون و ویسکوتک از هر دو نظر حالت بهینه‌تری دارند. هایتک نیز از نظر قدرت غلیظ‌کنندگی شرایط متعادلی دارد. اما، از نظر پایداری برشی بسیار ممتاز است. بر این اساس، به هیچ عنوان نمی‌توان از کلتان برای تولید روغن موتورهای چندرجه‌ای با کیفیت مطلوب استفاده کرد. علت این نتیجه گیری رفتار بسیار ضعیف این پلیمر و پایداری برشی ضعیف آن و هم‌چنین ضعف آن در آزمون راهاندازی موتور در دماهای پایین است. پلیمرهای کلتان و ویسکوتک نیز تشابه رفتاری زیادی دارند.

شايان ذكر است، پaramter a به برهمنش ميان پلimer و حلال و همچنین صورت‌بندي که زنجير می‌تواند در يك حلال و دمای مشخص داشته باشد، وابسته است و تغيير وزن مولکولي اثری بر اين پaramترها ندارد. افرون بر اين، برای پلimerها در محدوده گسترهای از وزن مولکولي از ثابت‌های يکسانی استفاده می‌شود.

هم‌چنین، تغييرات گرانزوی ویژه در دو دمای 40 و 100°C پس از آزمون پايداري برشی نيز اندازه‌گيري شد. نتایج به دست آمده برای تغييرات وزن مولکولي و گرانزوی ویژه در جدول ۸ ارایه شده است. با توجه به نتایج به دست آمده بار دیگر مشخص می‌شود که کلتان تحت برش دچار بيشترین شکست در ساختار زنجير می‌شود و به همین دليل تغييرات وزن مولکولي آن نسيت به سایر پلimerها بيشترین مقدار است. در اين راستا، هایتک دارای کمترین تغييرات وزن مولکولي است که اين امر را می‌توان به وزن مولکولي مناسب آن برای کاربرد به عنوان بهبوددهنده شاخص گرانزوی و هم‌چنین مهندسي ساختار مولکولي آن ارتباط داد [۳۷]. پاراتون و ویسکوتک نيز از اين نظر در بین هایتک و کلتان رده‌بندي می‌شوند. تغييرات گرانزوی ویژه اين نوع پلimerها نيز روند مشابه با تغييرات وزن مولکولي نشان می‌دهد. با توجه به نتایج گزارش شده، می‌توان کلتان را پلimerی خارج از رده برای کاربردهای روغن موتور چندرجه‌ای اعلام کرد، زيرا اين پلimer پايداري برشی بسیار ضعیفي دارد. پاراتون و ویسکوتک نيز از نظر پايداري برشی رفتار تقریباً مشابهی دارند، اما هایتک را می‌توان به عنوان پلimerی ممتاز در کاربردهای بهبود شاخص گرانزوی و تولید فرمول‌بندهای پیش‌رفته و بسیار کارامد معرفی کرد.

گرانزوی در دماهای کم تحت برش مکانیکی

آزمون CCS برای شبیه‌سازی نیروهای برشی که عملاً در موتور در دماهای پایین به روغن وارد می‌شود، طراحی شده است. برای بررسی توزیع و سنجه گرانزوی در دماهای پایین چهار نمونه از محلول‌های

جدول ۹- نتایج آزمون CCS برای چهار پلimer تجاري مورد استفاده.

گرانزوی (cSt) در -15°C	گرانزوی (cSt) در 100°C	مقدار مصرف (%wt)	محلول
			پلimerی
۶۷۹۰	۱۳/۰۹	۰/۶	هایتک
۷۱۵۰	۱۲/۹۸	۰/۰۵	پاراتون
۷۱۶۰	۱۳/۳۳	۰/۰۵	ویسکوتک
۷۱۶۰	۱۳/۱۰	۰/۳۵	کلتان

امیدیه به دلیل تأمین هزینه‌های مالی و شرکت افرونروان که با راهنمایی و کمک‌های ارزشمند خود نقش مهمی در به ثمر رسیدن این پژوهش داشتند، کمال تقدیر و تشکر را دارند. هم‌چنین از نظرات ارایه شده توسط داوران مجله علوم و تکنولوژی پلیمر برای رفع نواقص این مقاله قدردانی می‌شود.

اما پاراتون از نظر رفتار گرانروی و پایداری برشی شرایط مناسب‌تری دارد.

قدردانی

نویسنده‌گان از باشگاه پژوهشگران جوان دانشگاه آزاد اسلامی واحد

مراجع

- Al Ghoutia M.A., Al Degis Y.S., and Amer M., Application of Chemometrics and FTIR for Determination of Viscosity Index and base Number of Motor Oils, *Talanta*, **81**, 1096–1101, 2010.
- Wyman D., Viscosity Index Imperovers, *US Pat.*, **3607749**, 1971.
- Rogan J.B. and White S.A., Viscosity Index Imperovers, *US Pat.*, **4136047**, 1979.
- Jukic A., Tomasek L.J., and Janovic Z., Polyolefin and Poly(alkyl methacrylate) Mixed Additives as Mineral Lubricating Oil Rheology Modifiers, *Lubrication Sci.*, **17**, 431–449, 2005.
- Hoseini Shiraz S.S., Arabi H., Teimouri M.B., Mehtarani R., and Eslami Manesh V., *Production of Ethylene Propylene Copolymer as Viscosity Index Improver in Engine Oil*, MSc Thesis, Iran Polymer and Petrochemical Institute, February 2007.
- Janovic Z., Jukic A., and Vidovic E., Viscosity Behavior of Maleic Anhydride and Long Chain Alkyl Methacrylate Copolymers in Mineral Oil Solutions, *Chem. Technol. Fuels Oils*, **45**, 267–275, 2009.
- SRI, Lubricating Oil Additives, Menlo Park, California 94025, Report No.157, 1983.
- Bartha L., Kis G., Auer J., and Kocsis Z., Thickening Effects of Interactions between Engine Oil Additives, *Lubrication Sci.*, **13**, 231–249, 2001.
- Takigawa S., Teranishi K., Nomura T., Suzuki T., and Sakai K., Polymer Composition Useful as Viscosity Index Imperover, *US Pat.*, **5026496**, 1991.
- Vasileva V.N., Synthesis Copolymeric Additives Based on Methacrylate, *Khymia Tekhnologya Topli Masel*, **5**, 60–62, 1978.
- Standard Test Method for Kinematic Viscosity of Transparent and Opaque Liquids (and the Calculation of Dynamic Viscosity), Annual Book of ASTM Standard, D 445, 2005.
- Ikuhori E.U. and Aigbodion A.I., Determination of Solution Viscosity Characteristics of Rubber Seed Oil Based Alkyds Resins, *J. Appl. Polym. Sci.*, **101**, 3073–3075, 2006.
- Mark J.E., *Polymer Data Handbook*, Oxford University, USA, 105, 1999.
- Liou C., Tsiang R.C.C., Wu J., Liou J.S., and Sheu H.C., Synthesis of a Star Shaped Poly(ethylene-co-propylene) Copolymer as a Viscosity Index Improver for Lubricants, *J. Appl. Polym. Sci.*, **83**, 1911–1918, 2002.
- Verdier S., Coutinho J.A.P., Silva A.M.S., Alkilde O.F., and Hansen J.A., A Critical Approach to Viscosity Index, *Fuel*, **88**, 2199–2206, 2009.
- Standard Test Method for Shear Stability of Polymer Containing Fluids Using a European Diesel Injector Apparatus, Annual Book of ASTM Standard, D 6278, 2005.
- Standard Test Method for Apparent Viscosity of Engine Oils between –5 and –35°C Using the Cold Cranking Simulator, Annual Book of ASTM Standard, D 5293, 2005.
- Jukic A., Tomasek L.J., and Janovic Z., Polyolefin and Poly(alkyl methacrylate) Mixed Additives as Mineral Lubricating Oil Rheology Modifiers, *Lubrication Sci.*, **17**, 431–449, 2005.
- Sperling L.H., *Introduction to Physical Polymer Science*, 4th ed., Wiley, New York, 472–473, 2006.
- Jukic A., Vidovic E., and Janovic Z., Alkyl Methacrylate and Styrene Terpolymer as Lubricating Oil Viscosity Index Improvers, *Chem. Technol. Fuels Oils*, **43**, 386–394, 2007.
- Rubinstein M. and Colby R.H., *Polymer Physics*, Oxford University, USA, Chap. **5**, 176–180, 1992.
- LaRiviere D., Asfour A.A., Hage A., and Gao J.Z., Viscometric Properties of Viscosity Index Improvers in Lubricant Base Oil Over a Wide Temperature Range. Part I: Group II Base Oil, *Lu-*

- brication Sci.*, **12**, 133-143, 2000.
23. Hassanean M.H.M., Bartz W.J., and El Naga H.H.A., A Study of the Rheological Behaviour of Multigrade Oils, *Lubrication Sci.*, **10**, 43-59 ,1997.
24. Covitch M.J., *Lubricant Additives: Chemistry and Applications*, Chap. 10, Marcel Dekker, Ohio, 2003.
25. Dawans F., Goldenberg E., and Durand J.P., Lubricating Oil Compositions Containing Hydrogenated Polybutadiene Viscosity Index Imperovers, *US Pat.*, 3959161, 1976.
26. Bartz W.J., Influence of Viscosity Index Improver, Molecular Weight, and Base Oil on Thickening, Shear Stability, and Evaporation Losses of multigrade Oils, *Lubrication Sci.*, **12**, 215-237, 2000.
27. Mishra M.K. and Saxton R.K., Chemtech, *Polym. Add. Eng. Oils*, **25**, 35-41, 1995..
28. Desai N.M. and Joshi N.C., Rheological Modification of Base Oils Using a Styrene Isoprene Copolymer, *Lubrication Sci.*, **11**, 63-72, 1998.
29. Yamamoto K. and Fujita H., Limiting Viscosity Number Versus Molecular Weight Relations for Polyhexamethylene Oxide, *Polymer*, **7**, 557-562, 1996.
30. Abdel Azim A.A. and Abdel Azim R.M., Polymeric Additives for Improving the Flow Properties and Viscosity Index of Lubricating Oils, *J. Polym. Res.*, **8**, 111-118, 2001.
31. Papke B.L. and Tutunjian P.N., Applications of C-NMR to Predict Low Temperature Viscosity Performance of base Oils, *Tribotest J.*, **12**, 211-222, 2006.
32. Marsalko T.M., Majoros I., and Kennedy J.P., Multiarm Star Polyisobutylenes. V. Characterization of multiarm Polyisobutylene Stars by Viscometry, Pour Points, Electron Microscopy and Ultrasonic Shear Degradation, *J. Macromol. Sci. Part A: Pure Appl. Chem.*, **5**, 775-792, 1997.
33. Morgan Sh., Ye Z., and Subramanian R., and Zhu Sh., Higher Molecular Weight Hyperbranched Polyethylenes Containing Crosslinking Structures as Lubricant Viscosity Index Improvers, *Polym. Eng. Sci.*, **50**, 911-918, 2010.
34. Devlin M.T., Jao T.C., and Hammock T., Effect of Mechanical Shear on the Thin Film Properties of Base Oil Polymer Mixtures, *Lubrication Sci.*, **14**, 169-184, 2002.
35. Mortier M., Laboratory Shearing Tests for Viscosity Index Improvers, *Tribotest J.*, **2**, 329-349, 1996.
36. Alexander D.L. and Rein S.W., Relationship between Engine Oil Bench Shear Stability Tests, SAE Technical Paper 872047, 1987.
37. Pourhossaini M.R., Vasheghani Farahani E., Gholamian M., and Gholamian M., Synthesis and Characterization of Olefin Copolymers as Viscosity Modifiers for Engine Oil, *Iran. Polym J.*, **14**, 549-557, 2005.
38. Covitch M.J., Weiss J., and Kruetzer I.M., Low Temperature Rheology of Engine Lubricants Subjected to Mechanical Shear: Viscosity Modifier Effects, *Lubrication Sci.*, **4**, 337-364, 1999.